

# رخساره‌های سنگی و محیط رسبوب‌گذاری ماسه‌سنگ‌های گلاکونیت‌دار سازند نیزار در شرق حوضه رسبوبی کپه‌داغ

حسن متین فر<sup>\*</sup>، رضا موسوی حرمی<sup>\*\*</sup>، اسدالله محبوبی<sup>\*\*\*</sup>، مهدی نجفی<sup>\*\*\*\*</sup>

## چکیده

رسوبات سیلیسی آواری سازند نیزار (ماستریستین زیرین)، در شرق حوضه رسبوبی کپه‌داغ (شمال شرق ایران)، رخنمون دارد. این رسوبات به طور عمده از ماسه‌سنگ، سیلتستون و شیل، با مقدار کمی سنگ آهک ماسه‌ای فسیل‌دار تشکیل شده است. ماسه‌سنگ مهمترین رخساره سنگی این سازند محسوب می‌شود که به طور عمده از کوارتز و مقادیر کمتری فلدسپات، کانیهای اوپک، کانیهای رسی، گلاکونی و خرددهای بیوژنیک تشکیل شده است. بر اساس ویژگی‌های بافتی و ساختارهای رسبوبی، این رسوبات در شرایط لagonی تا دریابی کم عمق، نزدیک تا کم دور از ساحل تشکیل شده‌اند. سیمانی شدن و جانشینی مهمترین فرایندهای دیاژنتیکی ماسه‌سنگ‌های سازند نیزار محسوب می‌شوند که در مطالعات پتروگرافی به خوبی مشاهده می‌شود. ویژگی‌های بافتی و مورفولوژیکی دانه‌های گلاکونی (نبودن فرم‌های داسی‌شکل و هلالی) نیز مؤید این مطلب است که این دانه‌ها به صورت بر جا (اتوکتون) در محیط تشکیل شده‌اند و از نوع تخریبی و حمل شده نیستند. به نظر می‌رسد وجود کانی‌های اوپک آهن‌دار، به همراه فلدسپات پتاسیم، به عنوان منابع تامین Fe و K و وجود خرددهای بیوژنیک با ایجاد شرایط احیایی خفیف در گسترش فرایند گلاکونیتی شدن مؤثر بوده است.

## کلیدواژه

سازند نیزار، ماستریستین زیرین، کپه‌داغ، گلاکونی، ماسه‌سنگ نامتجانس.

<sup>\*</sup> مدرس دانشگاه پیام نور، مرکز مشهد.

<sup>\*\*</sup> عضو هیئت علمی دانشگاه فردوسی مشهد.

<sup>\*\*\*</sup> عضو هیئت علمی دانشگاه فردوسی مشهد.

<sup>\*\*\*\*</sup> عضو هیئت علمی دانشگاه فردوسی مشهد.

اهمیت ماسهسنگ‌های گلاکونیت‌دار، چگونگی تشکیل گلاکونیت با توجه به شواهد پتروگرافی مورد بحث و بررسی قرار گرفته است.

### مواد و روش‌ها

به منظور انجام این تحقیق سه برش چینه‌شناسی (دوبرادر، تنگ نیزار - برش الگو و کاریزک) در شرق حوضه کپه‌داغ انتخاب و برداشت شده است (شکل ۲). ضخامت این سازند در برش‌های مورد مطالعه به ترتیب ۲۹۲، ۳۰۸ و ۳۴۱ متر است.

در برداشت‌های صحرایی، واحدهای سنگی بر اساس ساختار رسوبی و تغییرات بافتی از یکدیگر تفکیک شده‌اند و ۱۸۰ نمونه میکروسکوپی مورد مطالعه قرار گرفته است. در این بررسی، پس از شناسایی اجزا و تعیین درصد فراوانی آنها به روش شمارش نقطه‌ای (Galenhouse, 1961)، ماسهسنگ‌ها با استفاده از طبقه‌بندی‌های فولک (Folk, 1980) و پتی‌جان و همکاران (Pettijohn et.al. 1987) و سنگ‌های (Dunhoam, 1962) آهکی به روش دانهام (Dunhoam, 1962) نام‌گذاری شده است.

### رخساره‌های سنگی

بر اساس مطالعات پتروگرافی، سه رخساره آواری شامل شیل (A)، سیلتستون (B) و ماسهسنگ (C) و یک رخساره کربناته از نوع سنگ آهک (D) در سازند نیزار در ناحیه مورد مطالعه شناسایی شده است.

**رخساره شیلی (A):** رخساره‌های شیلی به صورت طبقات و یا بخش‌های متناوب با ماسهسنگ‌ها قرار گرفته‌اند و گسترش آنها به طرف رأس سازند افزایش می‌یابد. به دلیل هوازدگی و پوشش سطحی، آثار و علائم ساختمان‌های

### مقدمه

حوضه رسوبی کپه‌داغ در شمال شرق ایران قرار دارد. این حوضه در تریاس میانی تا اوائل ژوراسیک به صورت یک حوضه حاشیه قاره‌ای (Alavi, 1991) تشکیل شده است. از ژوراسیک تا میوسن، رسوباتی به ضخامت بیش از ۶۰۰۰ متر به صورت تقریباً پیوسته در شرق آن رسوب‌گذاری شده است (افشار حرب، ۱۳۷۳). این رسوبات شامل سنگ‌های سیلیسی آواری، کربناته و مقدار کمی تبخیری است. سازند نیزار یکی از سازند‌های سیلیسی آواری در توالی رسوبی شرق حوضه کپه‌داغ است (شکل ۱ الف) که به فرم هم‌شب بر روی سازند "آب تلخ" و در زیر سنگ‌های آهکی سازند "کلات" قرار دارد (Kalantari, 1987).

سازند نیزار عمدتاً از ماسهسنگ‌های گلاکونیتی همراه با شیل، سیلتستون و افق‌هایی از سنگ آهک ماسه‌ای تشکیل شده است (شکل ۱ ب) که تاکنون به طور تفصیلی مورد مطالعه قرار نگرفته است. در این سازند، فسیل مشخصی گزارش نشده و سن آن برحسب موقعیت چینه‌شناسی، ماستریشتنین زیرین تعیین شده است (افشار حرب، ۱۳۷۳). پیدایش گونه *Sidrolites* در سنگ‌های آهکی بخش فوقانی این سازند (متین‌فر، ۱۳۸۱) نیز سن آن را تأیید می‌کند. مرز زیرین آن با شیل‌ها و مارن‌های سازند آب تلخ تدریجی است (شکل ۳ الف)، اما مرز فوقانی آن با سازند آهکی کلات با افقی از خاک قدیمه (PaleoSol) مشخص می‌شود (شکل ۳ ب).

هدف از این تحقیق، شناسایی و تفکیک رخساره‌های سنگی و تفسیر تاریخچه رسوب‌گذاری سنگ‌های تشکیل‌دهنده سازند نیزار در ناحیه مورد مطالعه است. همچنین با توجه به

(Ibid) مشاهده می شود که حاوی آشفتگی زیستی (شکل ۴ ج) و آثار فسیلی (شکل ۵ الف) است. ماسه سنگ ها هم از لحاظ گسترش و هم از نظر تنوع ترکیب و ساختمان های رسوی، مهم ترین رخساره سنگی سازند نیزار محسوب می شوند. رخساره ماسه سنگی بر اساس طبقه بندی میال (Mail, 1996) خود از رخساره های فرعی متفاوتی تشکیل شده است (شکل های ۳ ج و ۳ د). این ماسه سنگ ها اغلب دانه ریز تا متوسط، حاوی لامیناسیون مورب با زاویه کم (رخساره Sh) و یا دارای لامیناسیون افقی (رخساره SI) هستند. هم چنین طبقاتی با لامیناسیون مورب ریپلی نیز مشاهده می شود (Sr).

**رخساره کربناته (D):** سنگ آهک های سازند نیزار در بخش های فوقانی آن به صورت افق هایی با ضخامت کم، با لامیناسیون مورب تا افقی، به رنگ خاکستری تا نخودی مایل به قهوه ای مشاهده می شوند. این سنگ آهک ها، دانه ریز تا متوسط با جور شدگی ضعیف اند و علاوه بر خرد های برویزئر، اکنیو درم، کرینوئید، جلبک قرمز واکید، حاوی دانه های گلاکونی و ذرات آواری کوارتز هستند که در زمینه ای از گل آهکی و کلسیت اسپاری قرار دارند. بر اساس شواهد پتروگرافی، دو رخساره گرینستون / پکستون بیوکلاستی (D<sub>1</sub>) (شکل ۴ د) و پکستون الیتی ماسه ای (D<sub>2</sub>) قابل تشخیص است (شکل ۴ ه).

### تفسیر محیط رسویگذاری

رخساره های سنگی یک سازند رسوی، نمایش دهنده ویژگی های محیط تشکیل آن است؛ به طوری که اختصاصات فیزیکی، شیمیایی و بیولوژیکی محیط رسوی، به نوعی، بافت و ساخت رسوبات را تحت تأثیر قرار می دهد. بر

رسوی در آنها مشاهده نمی شود اما در برخی از برش ها، لامیناسیون های افقی نازک و ظریفی دیده می شود. دو رخساره فرعی شیل های گلاکونی دار حاوی فرامینفر (A<sub>1</sub>) و شیل های سیلتی حاوی زیپس (A<sub>2</sub>) از یکدیگر تفکیک شده اند.

**رخساره سیلتستون (B):** رخساره سیلتستون سازند نیزار، اغلب از سیلت های درشت تشکیل شده و حاوی دانه های گلاکونی و خرد های فسیلی است. طبقات سیلتستون اغلب حاوی آثار فسیلی (Trace Fossil) فراوان اند. این آثار فسیلی از نوع گلوسی فانجیتس (Glossifungites) هستند (شکل ۵ ب).

**رخساره ماسه سنگ (C):** ماسه سنگ های سازند نیزار اغلب جور شدگی در حد متوسط تا خوبی دارند و از نظر بافتی بالغ (Mature) هستند. کوارتز، فلدسپات، خرد ه سنگ، کانی های سنگین، میکا و کانی های رُسی از اجزاء آواری، خرد های بیوژنیک و دانه های گلاکونی از اجزاء غیر آواری این ماسه سنگ ها هستند. فراوانی خرد های بیوژنیک گاه تا ۳۰ درصد و دانه های گلاکونی تا حدود ۱۰ درصد (شکل ۱ ب) می رسد. بخش عمده این ماسه سنگ ها از نوع کوارتز ارنا نایت هستند (C<sub>1</sub>) (شکل ۴ الف) اما نمونه های ساب آرکوز و ساب لیت ارنا نایت نیز مشاهده می شوند (Folk, 1980). اجتماعی از ذرات آواری همراه با خرد های فسیلی و گلاکونی رخساره ماسه سنگ (Pettijohn et.al. 1987) (Hybride) نامتجانس را به وجود آورده است (C<sub>2</sub>). جور شدگی این رخساره نسبتاً ضعیف است و در برخی از نمونه ها جهت یابی ترجیحی به طور ضعیف مشاهده می شود (شکل ۴ ب). علاوه بر این، افق هایی از ماسه سنگ های دانه ریز حاوی ماتریکس رُسی فراوان (C<sub>3</sub>) از نوع کوارنت و

(2000). ویژگی‌های بافتی و مورفولوژیکی این دانه‌ها نشان می‌دهد که گلاکونی‌ها به صورت بر جا (اتوکتون) در محیط تشکیل شده‌اند و از نوع تخریبی و حمل شده نیستند، به طوری که فرم‌های داسی‌شکل (Sickle-Shaped) و هلالی (Half-Moon) که حاکی از تخریب و حمل دانه‌های گلاکونی از منشأ دیگر است (Chudhuri et al. 1994)، در نمونه‌های مورد مطالعه مشاهده نشد. مقدار فراوانی دانه‌های گلاکونی نسبت به دانه‌های آواری کوارتز در نمونه‌های مختلف بعضًا تغییراتی را نشان می‌دهد که این موضوع می‌تواند ناشی از تغییر شرایط رسوب‌گذاری، از جمله تغییر فاصله موقعیت رسوب‌گذاری نسبت به مبدأ ورود مواد آواری به حوضه رسوبی باشد (Hesselbo & Hugget, 2001).

میزان فراوانی گلاکونی، آثار آشفتگی زیستی (Bioturbation)، وجود خرده‌های فسیلی فراوان (رخساره ماسه‌سنگ نامتجانس)، ساختمان‌های رسوبی از نوع ریپل مارک و چینه‌بندی مورب پشت‌های حاکی از رسوب‌گذاری این ماسه‌سنگ‌ها در محیط‌های دریایی کم عمق و تا حدودی تحت نفوذ طوفان است (Midtgard, 1996). این ماسه‌سنگ‌ها را می‌توان به بخش انتهایی جزایر سدی (Barrire Island) نسبت داد که در محیط‌های نسبتاً پرانرژی نزدیک به ساحل تا کمی دور از ساحل رسوب‌گذاری کرده‌اند. سدهای ساحلی به طور عمده از کوارتز ارنايت دانه‌ریز تا متوسط با جورشدگی نسبتاً خوب تشکیل شده‌اند (Moslow, 1984). تناوب طبقات ماسه‌سنگی نامتجانس با طبقات گل نیز حاکی از رسوب‌گذاری در محیط‌های تحت نفوذ طوفان است؛ به طوری که طبقات ماسه‌سنگی در زمان حوادث طوفانی متوالی که با حجم زیاد ماسه همراه بوده‌اند و

این اساس، با توجه به شواهد صحرایی و پتروگرافی رخساره‌های سنگی سازند نیزار، محیط رسوب‌گذاری آن در ناحیه مورد مطالعه تفسیر شده است.

آثار و شواهد موجود حاکی از رسوب‌گذاری رخساره‌های سنگی این سازند در شرایط لاغونی تا دریایی کم عمق است (شکل ۴)؛ به طوری که شیل‌های گلاکونی‌دار حاوی فرامینفر پلاژیک (رخساره A<sub>1</sub>) در محیط‌های دریایی دور از ساحل و به هنگام بالا آمدن سطح آب دریا و کاهش حجم ورود ماسه به محیط، رسوب‌گذاری کرده‌اند، در حالی که در برش غربی (کاریزک)، شیل‌های سیلتی حاوی ذرات ژیپس (رخساره A<sub>2</sub>) در محیط‌های کم عمق و کم انرژی احتمالاً نیمه‌کولابی (لاغونی) رسوب‌گذاری نموده است. از طرفی، وجود آثار فسیلی از نوع گلوسوی فانجیتس نیز مؤید رسوب‌گذاری رخساره سیلتستونی سازند نیزار (رخساره B) در محیط‌های دریایی کم عمق و ساحلی است. این نوع آثار فسیلی محدوده وسیعی از محیط‌های رسوب‌گذاری دریایی را دربرمی‌گیرد اما تنها در بسترها سنگی نشده و محکم، از قبیل گلهایی که آب خود را از دست می‌دهند و یا ماسه‌های متراکم توسعه می‌یابند (Pemberrtone & Maceachern, 2005). ماسه‌سنگ‌های سازند نیزار (C) اغلب نامتجانس و گلاکونی‌دار هستند. گلاکونی شاخص محیط‌های دریایی است (Odin & Matter, 1987) که در شرایط با نرخ Chafrez & Amorosi (1995; Amorosi & Centinceo),

واژه گلاکونی برای دانه‌های رسوبی سبزرنگ به کار برد می‌شود (Odin & Matter, 1981). گلاکونی یکی از مشخصه‌های نرخ رسوب‌گذاری کم در شرایط دریایی است (Chafrez & Reid, 2000) و ابزار بسیار مفیدی برای تعبیر و تفسیر حوضه‌های رسوبی محسوب می‌شود (Alavi), (1991). تابه‌حال نظریات مختلفی درخصوص نحوه تشکیل گلاکونی در حوضه‌های رسوبی ارائه شده است که فرایند جانشینی یکی از این سازوکارها محسوب می‌شود. جانشینی گلاکونیت به جای دانه‌های آواری و پوسته‌های فسیلی در امتداد رخ‌ها، شکستگی‌ها و حفرات انحلالی می‌تواند صورت گیرد (Chudhuri et. al. 1994).

استونسیفر (Stonecipher, 1999) با ارائه مدل گلاکونیتی شدن، مراحل تکوین دانه‌های گلاکونی را در یک بستر دانه‌ای نشان داده است (شکل ۸ الف). در این مدل طی زمانی معادل یک میلیون سال، یک دانه گلاکونی با تهنشست اسمکتیت فقیر از پتاسیم (K) تولد و به میکای گلاکونیتی غنی از پتاسیم (مرحله بسیار تکامل یافته) تبدیل می‌شود. با پیشرفت فرایند گلاکونیتی شدن رنگ سبز و حساسیت مغناطیسی، دانه‌های گلاکونی نیز افزایش می‌یابد. بر اساس شواهد پتروگرافی فرایند گلاکونیتی شدن را در ماسه‌سنگ‌های سازند نیزار می‌توان از مراحل بسیار ساده تا مراحل بسیار پیشرفته دنبال نمود. تصاویر ارائه شده در شکل (۸ ب) مراحل تشکیل گلاکونیت را در سه نمونه مختلف ماسه‌سنگ سازند نیزار نشان می‌دهد که با مراحل مدل گلاکونیتی شدن استونسیفر (Ibid) قابل قیاس است. افزایش مقدار گلاکونی در یک دانه آواری از حالت (ب ۱) به حالت (ب ۲) و تیره‌تر شدن رنگ سبز گلاکونی در حالت (ب ۳) مؤید این موضوع است.

طبقات گلی در دوره‌های آرامش (کاهش ماسه) رسوب‌گذاری کرده‌اند (Midtgard, 1996). جورشدگی خوب و بلوغ بافتی ماسه‌سنگ‌ها وجود افق‌هایی از پوسته‌های فسیلی بر جای مانده در قاعده برخی از طبقات ماسه‌سنگی (Shell-Lag) (شکل ۵ ج) نیز حاکی از رسوب‌گذاری در محیط‌های تحت نفوذ طوفان است (موسی حرمنی، ۱۳۸۲؛ Moslow, 1984).

با کاهش ورود رسوبات سیلیسی آواری، شرایط مناسبی برای تشکیل رسوبات آهکی فراهم شده است. رخساره کربناته حاوی موجودات استنوهالین نظیر اکینودرم و بریوزوئر ( $D_1$ ) مؤید رسوب‌گذاری در محیط دریایی باز و زیر خط اثر امواج است. رخساره کربناته حاوی پوسته‌های فسیلی، ااید و ذرات آواری ( $D_2$ ) نیز مؤید رسوب‌گذاری آن در یک محیط نسبتاً پرانرژی است.

### گلاکونی و گلاکونیتی شدن

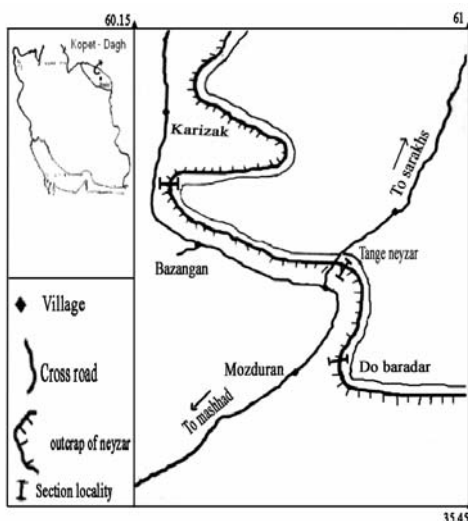
بر اساس شواهد پتروگرافی، سیمانی شدن و جانشینی از مهم‌ترین فرایندهای دیاژنتیکی در رخساره‌های ماسه‌سنگی سازند نیزار است. سیمان متداول آن کلسیت اسپاری آهن‌دار است که به فرم گرانولار و پویکیلوتاپیک در بین دانه‌ها تهنشست نموده است. در این میان فرایند جانشینی از اهمیت ویژه‌ای برخوردار است. علاوه بر جانشینی کلسیت به جای دانه‌های کوارتز که به‌وضوح در رخساره ماسه‌سنگی مشاهده می‌شود (شکل ۷ الف)، به نظر می‌رسد گلاکونیت موجود در ماسه‌سنگ‌ها حاصل فرایند جانشینی است. آثار این جانشینی در فلدسپات‌ها و دانه‌های آهکی به‌وضوح مشاهده می‌شود (شکل ۷ ب).

سیلیستون، شیل و سنگ آهک تشکیل شده است. ماسه سنگ‌ها از نوع کوارتز ارنایت هستند اما وجود خرده‌های فسیلی و دانه‌های گلاکونی در کنار ذرات آواری، رخسارهٔ ماسه سنگ نامتجانس را به وجود آورده است. اختصاصات بافتی، ساختمانهای رسوبی و وجود آثار فسیلی، نشان می‌دهد که رخساره‌های سنگی سازند نیزار در شرایط دریایی از محیط‌های لاغونی تا محیط‌های کم عمق، اندکی دور از ساحل و تا حدودی تحت نفوذ طوفان، رسوب‌گذاری کرده‌اند. ویژگی‌های بافتی و مورفولوژیکی دانه‌های گلاکونی نشان می‌دهد که این دانه‌ها به صورت برجا (اتوکتون) تشکیل شده‌اند و از نوع آواری و حمل شده‌نیستند.

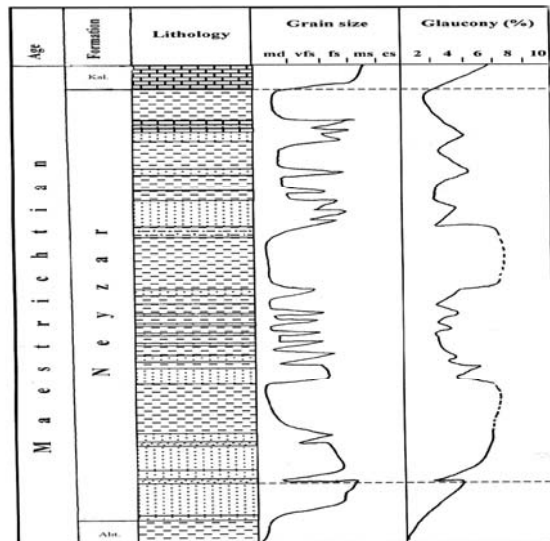
به نظر می‌رسد وجود کانی‌های اوپیک آهن دار به همراه فلدلسپات پیتاسیم، منابع تأمین Fe و K بوده‌اند و وجود مواد آلی (خرده‌های بیوژنیک) با ایجاد شرایط احیایی خفیف در گسترش فرایند گلاکونیتی شدن در این ماسه‌سنگ‌ها مؤثر بوده است (موسوی حرمی و دیگران، ۱۳۸۰). علاوه بر این، مقدار کم رسوب وارد و اتریزی نسبتاً بالای محیط، شرایط فیزیکی و شیمیایی مناسبی را برای ایجاد سطح تماس طولانی آب - رسوب که لازمه تشکیل گلاکونیت می‌باشد (Stonecipher, 1999) فراهم کرده است.

نتیجہ گیری

سازند نیزار با سن ماستریشتین زیرین در شرق  
حوضه رسوی کپه‌داغ، از رخساره‌های ماسه‌سنگ،

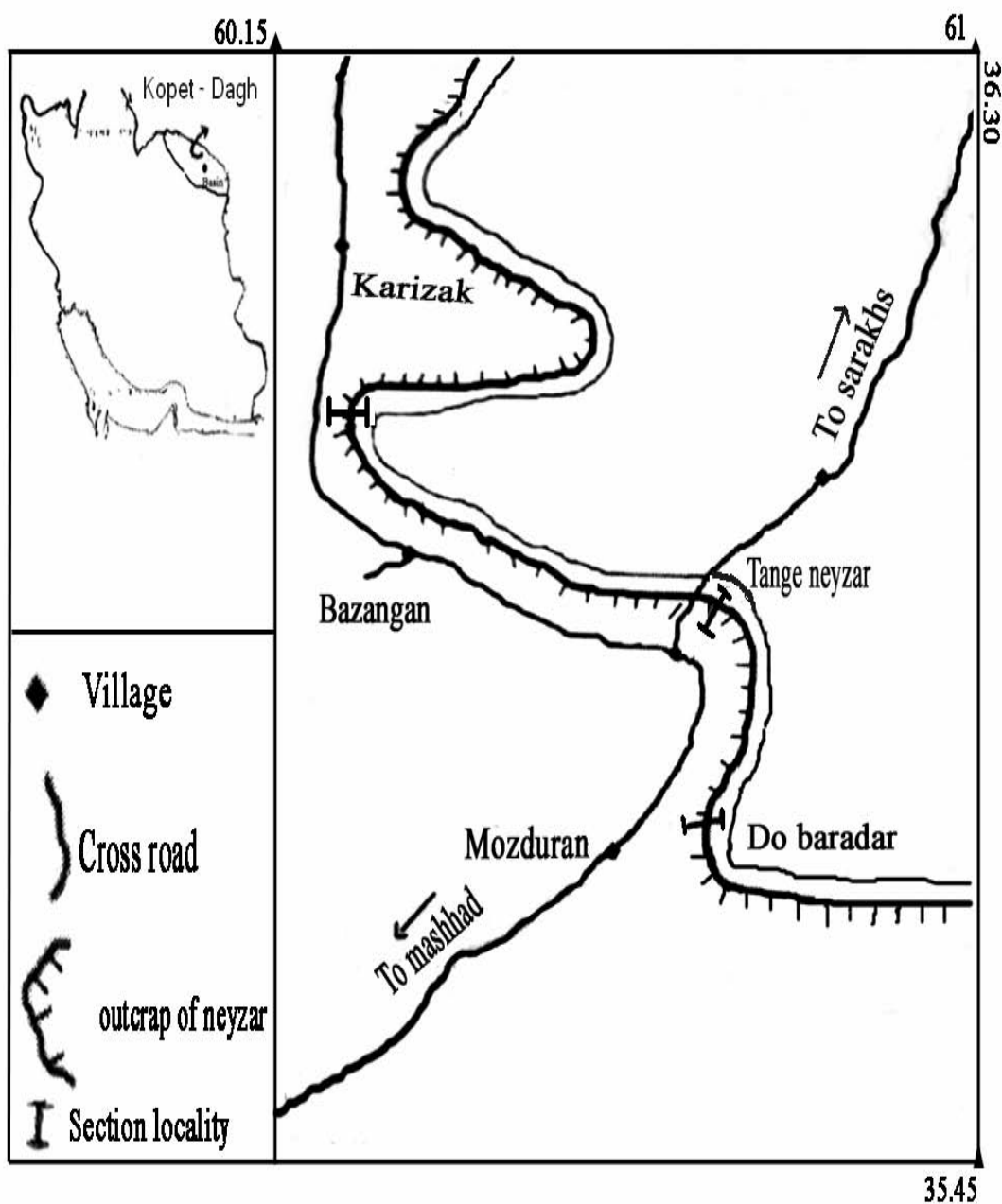


۲

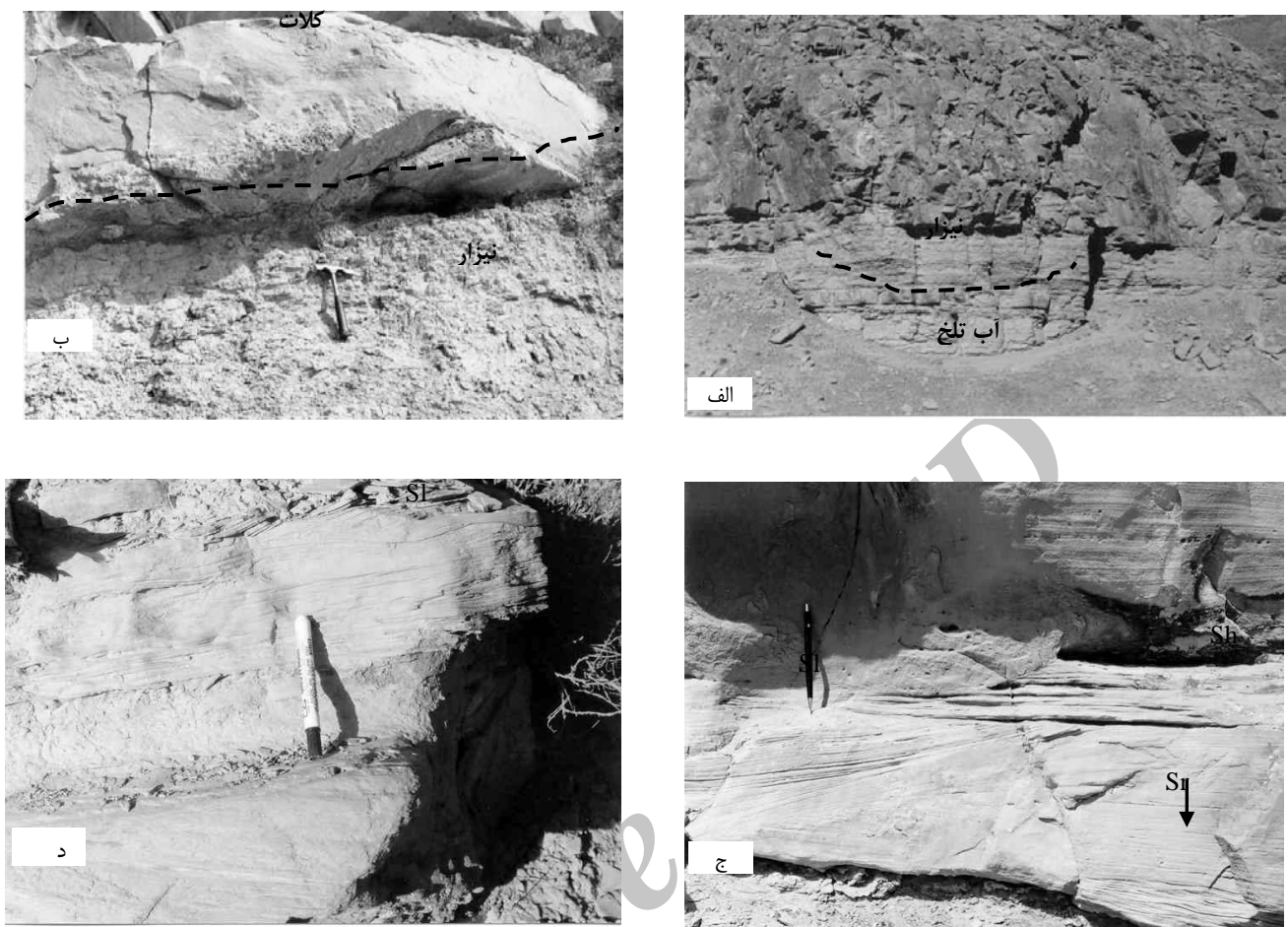


الف)

**شکل ۱: الف)** توالی چینه‌شناسی کرتاسه فوکانی در شرق حوضه رسوی کپه‌داغ (اقتباس با تغییراتی از: Kalantari, 1987) **ب)** ستون چینه‌شناسی سازند نیزار در برش دوپرادر که تغییرات اندازه ذرات و فراوانی گلاکونی را نشان می‌دهد.

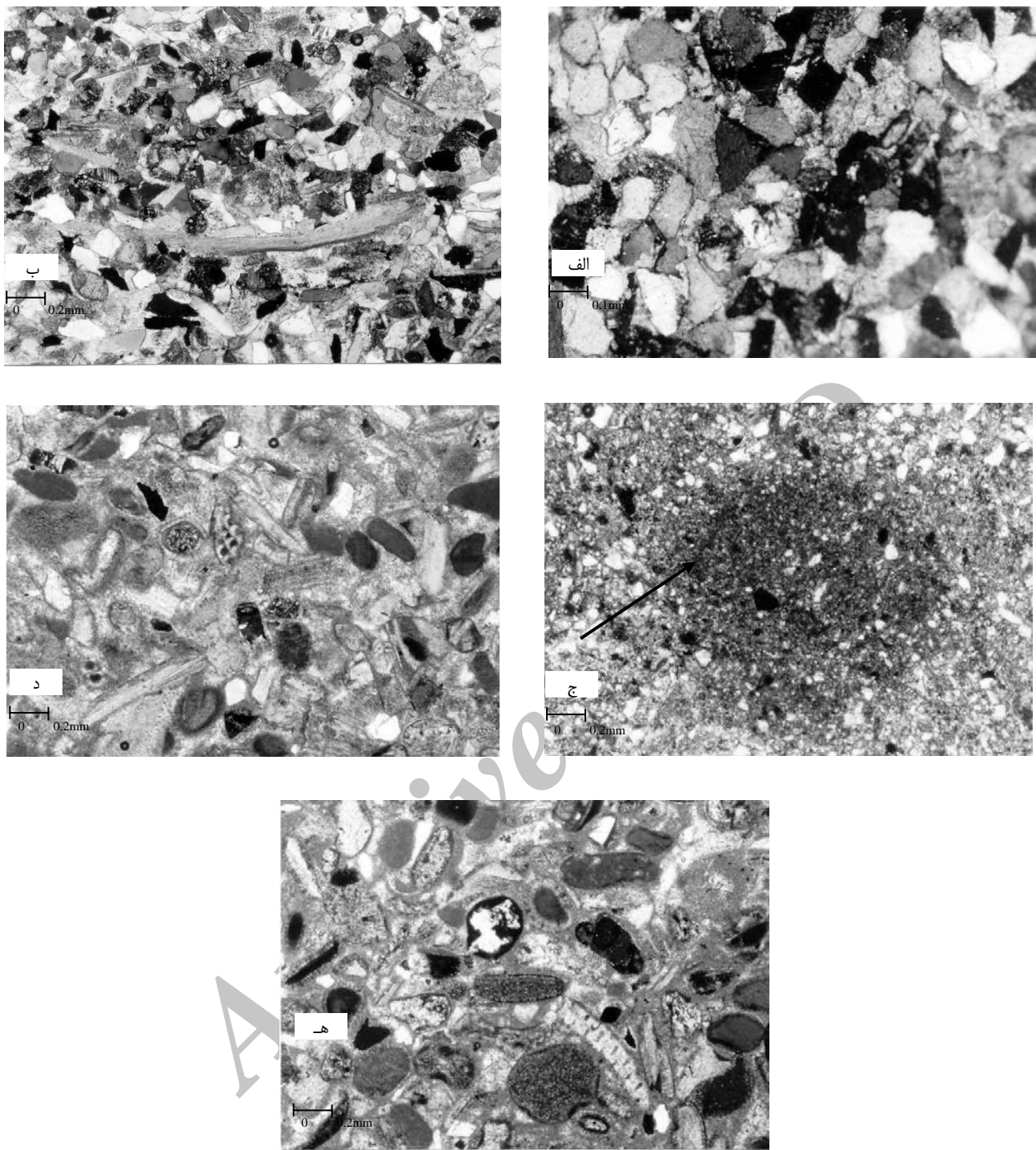


شکل ۲: موقعیت جغرافیایی منطقه مورد مطالعه در شمال شرق ایران که محل مقاطع چینه‌شناسی مشخص شده است.



شکل ۳: تصاویری از رخنمون سازند نیزار در برش‌های مطالعه شده:

- الف) مرز تحتانی سازند نیزار با رسوبات شیلی سازند آب تلخ در برش تنگ نیزار که با خطچین نشان داده شده است.
- ب) مرز فوقانی سازند نیزار با سازند کلات (خطچین) در برش تنگ نیزار که با افقی از خاک قدیمه همراه است.
- ج) نمایی از رخسارهای Sh, Sr و Sl در ماسه‌سنگ‌های برش تنگ نیزار.
- د) نمایی از رخسارهای Sl در رسوبات برش کاریزک.



شکل ۴: تصاویر میکروسکوپی (XPL) از رخساره‌های سنگی سازند نیزار:

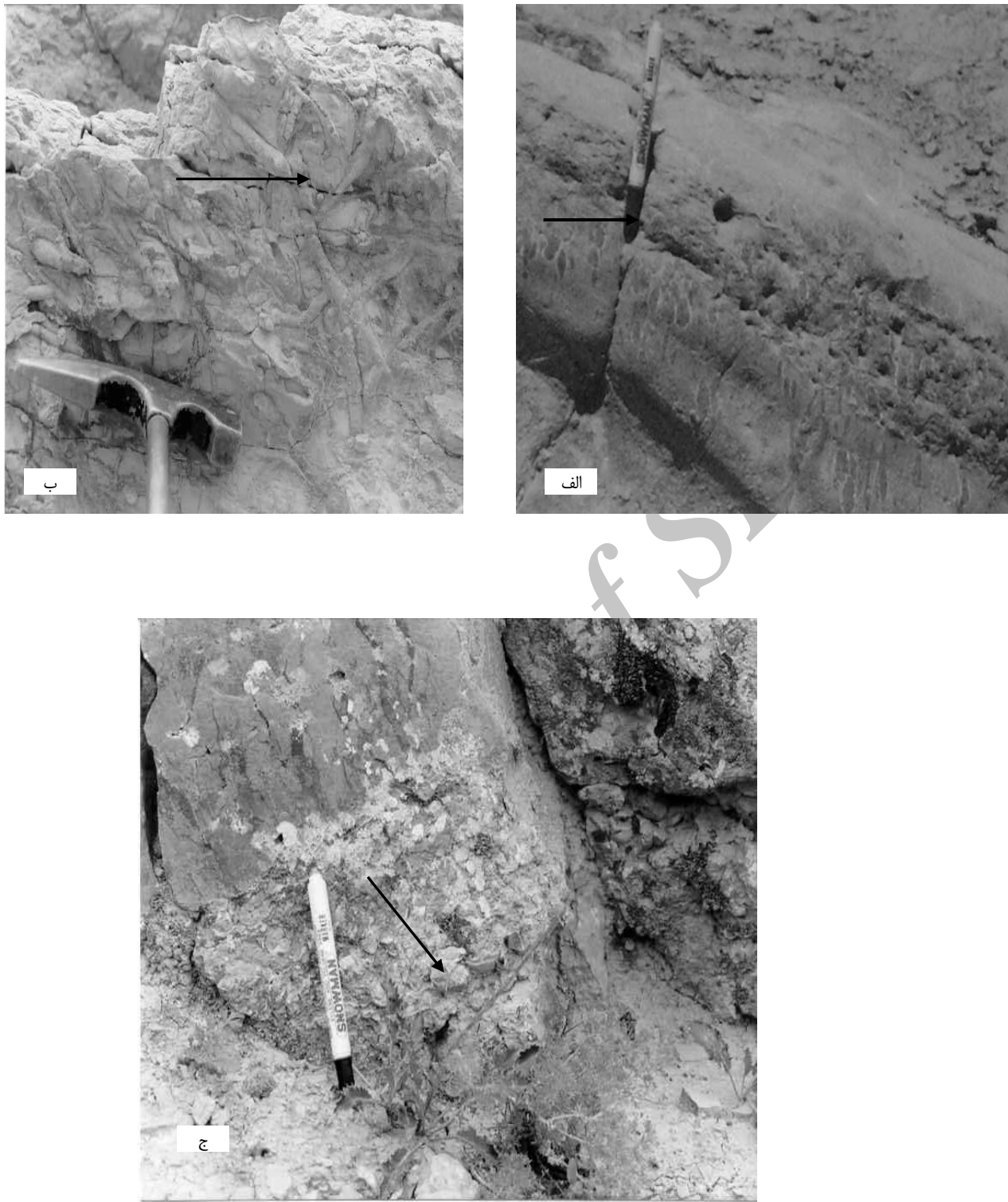
الف) رخساره کوارتز ارنایت ( $C_1$ ).

ب) رخساره ماسه‌سنگ نامتجانس ( $C_2$ ) (Hybride).

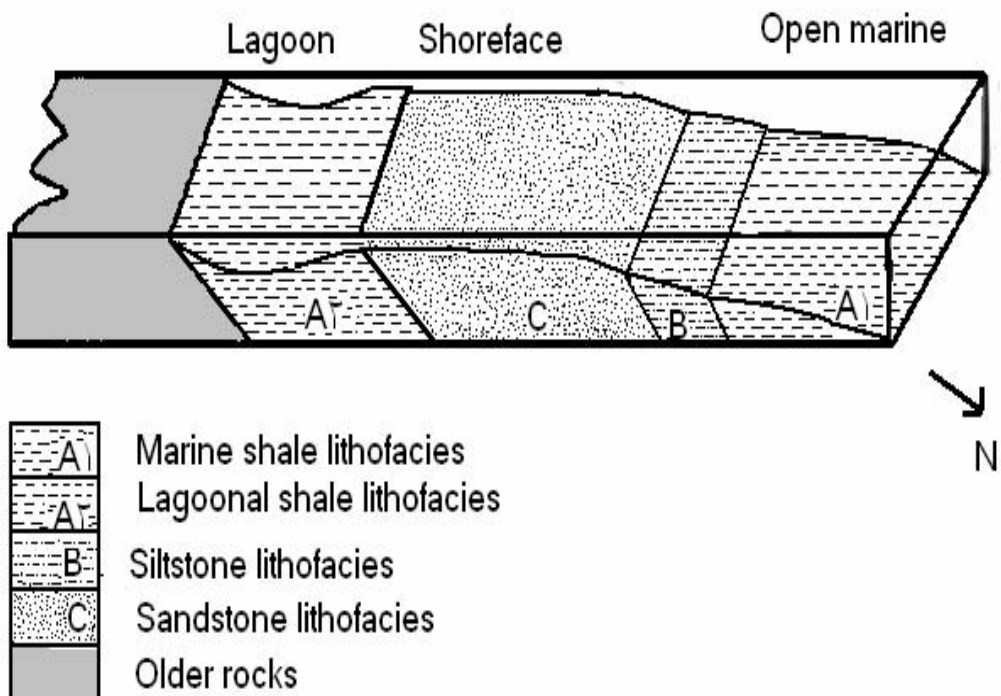
ج) آشفتگی زیستی (Bioturbation) در رخساره ( $C_3$ ).

د) رخساره گرینستون/پکستون بایوکلسیتی ( $D_1$ ).

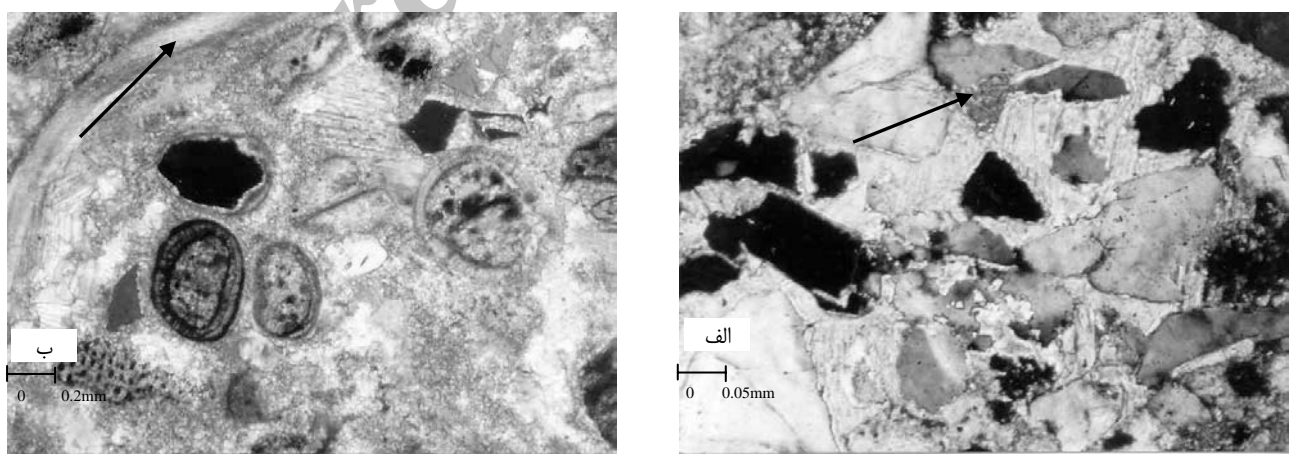
ه) رخساره پکستون الیتی ماسه‌ای ( $D_2$ ).



شکل ۵: الف) نمایی از رخنمون رخساره ماسه‌سنگی ( $C_3$ ) حاوی آثار فسیلی و آشفتگی زیستی (برش کاریزک).  
 ب) نمایی از رخنمون رخساره سیلتستونی سازند نیزار، حاوی آثار فسیلی لوله‌ای و داربستی شکل از نوع گلوسی فانجیتس  
 (برش کاریزک).  
 ج) افقی از پوسته‌های فسیلی بر جای‌مانده (shell-lag) در قاعده رخساره آهکی (برش کاریزک).



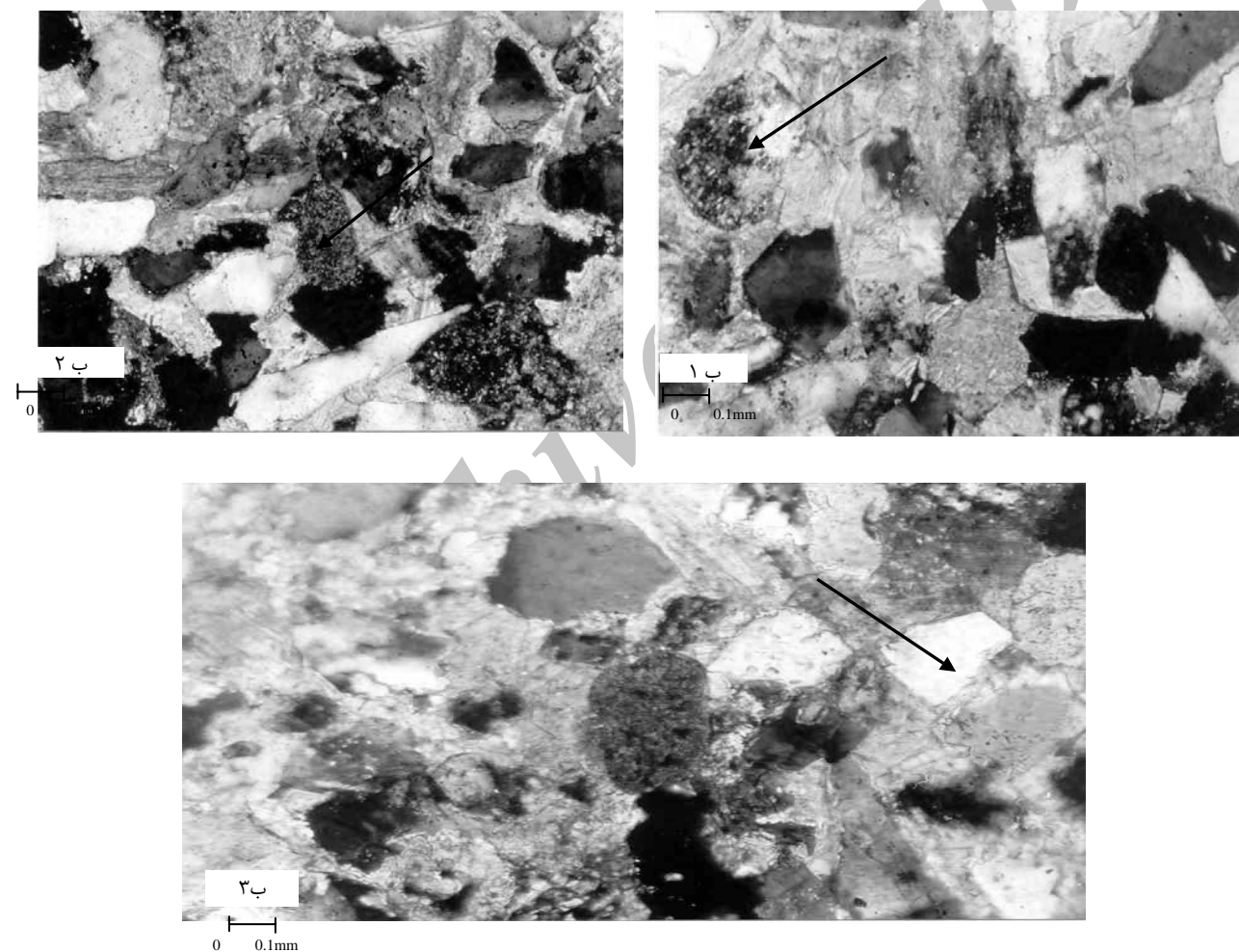
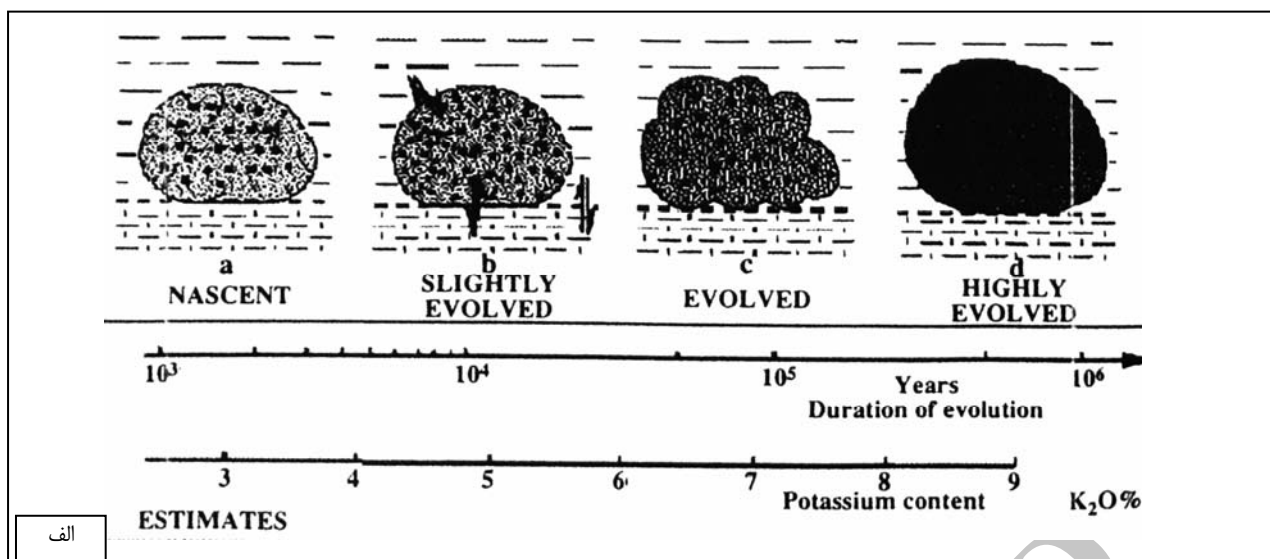
شکل ۶: دیاگرام سه بعدی محیط رسوبی رخساره‌های سیلیسی آواری سازند نیزار در شرق حوضه رسوبی کپه‌داغ.



شکل ۷: تصاویر میکروسکوپی (XPL) از فرایند جانشینی در رخساره‌های سنگی سازند نیزار:

(الف) آثار انحلال دانه‌های کوارتز و جانشینی کلسیت در رخساره ماسه‌سنگی کوارتز آرنایت ( $C_1$ ).

(ب) پدیده گلاکونیتی شدن در هسته اووئیدها در رخساره سنگ آهک ( $D_1$ ).



شکل ۸: الف- مدل گلاکونیتی شدن که مراحل تکوین آن (a- در حال تولد، b- کمی تکامل یافته، c- تکامل یافته، d- بسیار تکامل یافته) در یک بستر دانه‌ای را نشان می‌دهد (اقتباس از: Stonecipher, 1999).

ب) تصاویر میکروسکوپی (XPL) رخساره ماسه‌سنگی (C) سازند نیزار در ناحیه مورد مطالعه که پیشرفت فرایند گلاکونیتی شدن را نشان می‌دهد. به طوری که تصویر (ب۱) با مرحله a، تصویر (ب۲) با مرحله c و تصویر (ب۳) با مرحله d مدل استونسیفر (1999) منطبق است.

## منابع

- موسوی حرمی و دیگران (۱۳۸۰)، «بررسی چگونگی تشکیل و توزیع کانی گلاکونیت در ماسه سنگ‌های سازند نیزار واقع در شرق حوضه رسوی کپه‌داغ»، فشرده مقالات نهمین همایش انجمن بلورشناسی و کانی‌شناسی ایران: ۱۴۶-۱۴۵.
- موسوی حرمی، و.ا. محبوی، (۱۳۸۲)، رسوب‌شناسی کاربردی، مرکز نشر دانشگاهی؛
- Alavi, M.** (1991), "Sedimentary and structural characteristics of paleot remnants in northeastern Iran", *Bulletin of Geological Society of America*, Vol. 103: 983-992;
- Amorosi, A.** (1995), "Glaucony and sequence stratigraphy: A conceptual framework of distribution in siliciclastic sequence", *Journal of sedimentary Research*, V. B. 65: 419 – 425;
- and M.C. Centineo** (2000), "Anatomy of a condensed section: the lower Cenomanian glaucony-rich Deposits of Cap Blanc-Nez (Boulonnais Northern France)", In: (ed.), *Marin Authigenesis: From Global to Microbial*, SEPM Special Publication, No. 66: 405-413;
- Chafrez, H. S. and A. Reid** (2000), "Syndepositional shallow-water precipitation of glauconitic minderals", *Sedimentray Geologyy*, V. 136: 29-42;
- Chudhuri, A.K. et.al.** (1994), "Proterozoic glauconitic peloids from south India: their origin and significance", *Journal of Sedimentary Research*, V. A64: 765-770;
- Dunham, R. J.** (1962), "Classification of carbonate rocks according to depositional texture", In: W.E Ham (ed.), *Classification of carbonates rocks*, AAPG bulletin, memoir: 108-121;
- Folk, R. L.** (1980), *Pertology of Sedimentary Rocks*, Austion, Texas, Hemphill, Publishing Co., 182 p;
- Galehouse, J. S.** (1961), "Point counting", In: R. E. Carver (ed.), *Procedures in Sedimentary Petrology*, New yourk, John wiley and Sons inc.: 385-407;
- Hesselba S. and J. Hugget** (2001), "Glaucony ocean margin sequence stratigraphy (Oilgocene-Pliocene, offshore, New Jersy, USA., ODP LEG 174A)", *Journal of Sedimentary Research*, V. 4: 599 – 607;
- Kalantari, A.** (1987), "Biofacies relationship of the kopet-Dagh region", Tehran, National Iranian Company Exploration and Production Group, 1 sheet;
- Mial, A. D.** (1996), *The Geology of Fluvialof Deposits, sedimentary Facies, Basin Analysis and Petroleum Geology*, Berlin, Springer-Vedag, 582 p;
- Midtgard, H.** (1996), "Inner shelf to lower shoreface hummocky sandstone bodies with evidence for geostrophic influenced combined flow, lower Cretaceous west Greenland", *Journal of Sedimentary Research*, Vol. 66: 343-353.
- افشار حرب، ع (۱۳۷۳)، زمین‌شناسی کپه‌داغ، طرح تدوین کتاب زمین‌شناسی ایران، سازمان زمین‌شناسی و اکتشافات معدنی کشور، شماره ۱۱؛
- متین فر، ح (۱۳۸۱)، پترولورژی و محیط رسوب‌گذاری سازند نیزار (کرتاسه فوکانی) در شرق حوضه رسوی کپه‌داغ واقع در شمال شرق ایران، پایان‌نامه کارشناسی ارشد دانشگاه فردوسی مشهد؛

- Moslow, T.F.** (1984), *Depositional Models of Shelf and Shoreline Sandstone*, AAPG, Course Note Series = 27, 102p;
- Odin, G. S. and A. Matter** (1981), "Deglauconiarum origin", *Sedimentology*, V. 28: 611–641;
- Pemberton, G. and J. Maceachern** (2005) In: Fz. Kout soukos (ed.) Applied stratigraphy, Springer: 279-300;
- Pettijohn, F. J. et. al.** (1987), *Sand and Sandstone*, New York, Springer-veertage, 553p;

**Stonecipher, S. A.** (1999), Genetic characteristics of glauconitic and siderite implication for the origin of ambiguous isolated marian sandbodies', In: K.M., Bergamon and J.W., Senedden (eds.) Isolated Shallow Marian Sand Bodies: Sequence Stratigraphic Analysis and Sedimentologic Interpretion, SEPM Special Publication, 64p: 191-204.■

Archive of SID